

# СМЕШИВАЮЩИЕ ФУНКЦИИ\*

Н. В. Чашников

nik239@list.ru

27 октября 2007 г.

Данная работа примыкает к [1].

1°. Рассмотрим простейшую задачу геометрического моделирования: соединить кривой две данные точки  $a_1, a_2 \in \mathbb{R}^3$ . Очевидным решением этой задачи является отрезок с концами  $a_1$  и  $a_2$ , определяемый вектор-функцией

$$r(t) = (1 - t)a_1 + ta_2, \quad t \in [0, 1].$$

Вместо коэффициентов  $1 - t$  и  $t$  можно использовать любые функции  $H_1(t)$  и  $H_2(t)$ , удовлетворяющие условиям

$$\begin{aligned} H_1(0) &= 1, & H_1(1) &= 0, \\ H_2(0) &= 0, & H_2(1) &= 1. \end{aligned} \tag{1}$$

Функции  $H_1$  и  $H_2$  называют *смешивающими функциями*.

Используя смешивающие функции, можно решить следующую задачу: построить непрерывную кривую, проходящую через точки  $a_0, a_1, \dots, a_n \in \mathbb{R}^3$ . Для этого определим вектор-функцию  $r: [0, n] \rightarrow \mathbb{R}^3$ :

$$r(u) = H_1(u - k)a_k + H_2(u - k)a_{k+1}, \quad u \in [k, k + 1], \quad k \in 0 : n - 1.$$

Перейдём теперь к рассмотрению более сложной задачи: построить кривую по заданным конечным точкам  $a_1, a_2 \in \mathbb{R}^3$  и касательным векторам в этих точках  $b_1, b_2 \in \mathbb{R}^3$ . Решение этой задачи можно получить с использованием четырёх смешивающих функций, удовлетворяющих условиям

$$\begin{aligned} H_1(0) &= 1, & H_1'(0) &= 0, & H_1'(1) &= 0, & H_1(1) &= 0; \\ H_2(0) &= 0, & H_2'(0) &= 1, & H_2'(1) &= 0, & H_2(1) &= 0; \\ H_3(0) &= 0, & H_3'(0) &= 0, & H_3'(1) &= 1, & H_3(1) &= 0; \\ H_4(0) &= 0, & H_4'(0) &= 0, & H_4'(1) &= 0, & H_4(1) &= 1. \end{aligned} \tag{2}$$

---

\*Семинар по дискретному гармоническому анализу и геометрическому моделированию «DNA & CAGD»: <http://www.dha.spb.ru/>

Тогда для вектор-функции

$$r(t) = H_1(t) a_1 + H_2(t) b_1 + H_3(t) b_2 + H_4(t) a_2, \quad t \in [0, 1], \quad (3)$$

выполнены равенства

$$r(0) = a_1, \quad r'(0) = b_1, \quad r'(1) = b_2, \quad r(1) = a_2,$$

то есть вектор-функция  $r(t)$  задаёт кривую в  $\mathbb{R}^3$  с концами  $a_1$  и  $a_2$  и касательными векторами на концах  $b_1$  и  $b_2$ .

Смешивающие функции, удовлетворяющие условиям (2), можно также использовать для решения следующей задачи: построить гладкую кривую, проходящую через точки  $a_0, a_1, \dots, a_n \in \mathbb{R}^3$ , для которой векторы касательных в точках  $a_j$  равны  $b_j$ ,  $j \in 0 : n$ . Решением будет кривая, задаваемая функцией  $r: [0, n] \rightarrow \mathbb{R}^3$ :

$$r(u) = H_1(u - k) a_k + H_2(u - k) b_k + H_3(u - k) b_{k+1} + H_4(u - k) a_{k+1}, \\ u \in [k, k + 1], \quad k \in 0 : n - 1.$$

Кроме того, смешивающие функции, удовлетворяющие условиям (2), можно использовать для построения параметрической поверхности Кунса (см. [2]).

**2°.** Введём общее определение. Пусть  $T \subset C([0, 1])$  — линейное пространство,  $L_1, \dots, L_n: T \rightarrow \mathbb{R}$  — линейные функционалы. Функции  $H_1, \dots, H_n \in T$ , удовлетворяющие условиям

$$L_i(H_j) = \delta_{ij}, \quad i, j \in 1 : n, \quad (4)$$

будем называть смешивающими функциями для функционалов  $L_1, \dots, L_n$ .

Рассмотрим интересные нас частные случаи.

1)  $n = 2$ ,  $T = C([0, 1])$ ,  $L_1(f) = f(0)$ ,  $L_2(f) = f(1)$ . В этом случае условия (4) принимают вид (1).

2)  $n = 4$ ,  $T = C^1([0, 1])$ ,

$$L_1(f) = f(0), \quad L_2(f) = f'(0), \quad L_3(f) = f'(1), \quad L_4(f) = f(1).$$

В этом случае условия (4) принимают вид (2).

3)  $n = 6$ ,  $T = C^2([0, 1])$ ,

$$L_1(f) = f(0), \quad L_2(f) = f'(0), \quad L_3(f) = f''(0), \\ L_4(f) = f''(1), \quad L_5(f) = f'(1), \quad L_6(f) = f(1).$$

Смешивающие функции  $H_j$ , удовлетворяющие условиям (4), можно использовать для построения кривой по заданным концам и производным первого и второго порядка в конечных точках. Кроме того, с их помощью можно построить кривую класса  $C^2$ , проходящую через заданные точки и имеющую в них заданные первые и вторые производные.

В дальнейшем мы будем ссылаться на эти частные случаи как на случаи  $n = 2$ ,  $n = 4$  и  $n = 6$ , полагая, что пространство  $T$  и функционалы  $L_i$  определяются для данного  $n$  так, как описано выше.

Пусть заданы функции  $\gamma_1, \dots, \gamma_n \in T$ . Будем искать смешивающие функции в виде

$$H_j(t) = \sum_{k=1}^n \alpha_{jk} \gamma_k(t), \quad \alpha_{jk} \in \mathbb{R}, \quad j \in 1 : n. \quad (5)$$

Если учесть линейность функционалов  $L_i$ , то равенство (4) примет вид

$$\sum_{k=1}^n \alpha_{jk} L_i(\gamma_k) = \delta_{ij}. \quad (6)$$

Введём матрицы

$$A = \begin{pmatrix} \alpha_{11} & \alpha_{12} & \cdots & \alpha_{1n} \\ \alpha_{21} & \alpha_{22} & \cdots & \alpha_{2n} \\ \vdots & \vdots & \ddots & \vdots \\ \alpha_{n1} & \alpha_{n2} & \cdots & \alpha_{nn} \end{pmatrix}, \quad G = \begin{pmatrix} L_1(\gamma_1) & L_2(\gamma_1) & \cdots & L_n(\gamma_1) \\ L_1(\gamma_2) & L_2(\gamma_2) & \cdots & L_n(\gamma_2) \\ \vdots & \vdots & \ddots & \vdots \\ L_1(\gamma_n) & L_2(\gamma_n) & \cdots & L_n(\gamma_n) \end{pmatrix}.$$

Тогда равенство (6) можно переписать в виде  $AG = E_n$ , то есть  $A = G^{-1}$ .

Таким образом, если для заданных функций  $\gamma_k$  матрица  $G$  обратима, то можно взять коэффициенты  $\alpha_{jk}$  из матрицы  $G^{-1}$  и построить смешивающие функции  $H_j$  по формуле (5).

### 3°. Полиномиальные смешивающие функции.

Пусть  $\gamma_k(t) = t^{k-1}$ ,  $k \in 1 : n$ . Смешивающие функции  $H_j$  будут полиномами степени не выше  $n - 1$ .

Случай  $n = 2$ . Имеем  $\gamma_1(t) = 1$ ,  $\gamma_2(t) = t$ ,

$$G = \begin{pmatrix} 1 & 1 \\ 0 & 1 \end{pmatrix}, \quad G^{-1} = \begin{pmatrix} 1 & -1 \\ 0 & 1 \end{pmatrix}.$$

Значит,  $H_1(t) = 1 - t$ ,  $H_2(t) = t$ .

Случай  $n = 4$ . Имеем  $\gamma_1(t) = 1$ ,  $\gamma_2(t) = t$ ,  $\gamma_3(t) = t^2$ ,  $\gamma_4(t) = t^3$ ,

$$G = \begin{pmatrix} 1 & 0 & 0 & 1 \\ 0 & 1 & 1 & 1 \\ 0 & 0 & 2 & 1 \\ 0 & 0 & 3 & 1 \end{pmatrix}, \quad G^{-1} = \begin{pmatrix} 1 & 0 & -3 & 2 \\ 0 & 1 & -2 & 1 \\ 0 & 0 & -1 & 1 \\ 0 & 0 & 3 & -2 \end{pmatrix}.$$

Значит,

$$\begin{aligned} H_1(t) &= 2t^3 - 3t^2 + 1, & H_3(t) &= t^3 - t^2, \\ H_2(t) &= t^3 - 2t^2 + t, & H_4(t) &= -2t^3 + 3t^2. \end{aligned}$$

Полученные  $H_j$  являются кубическими полиномами Эрмита. Их графики изображены на рис. 1.

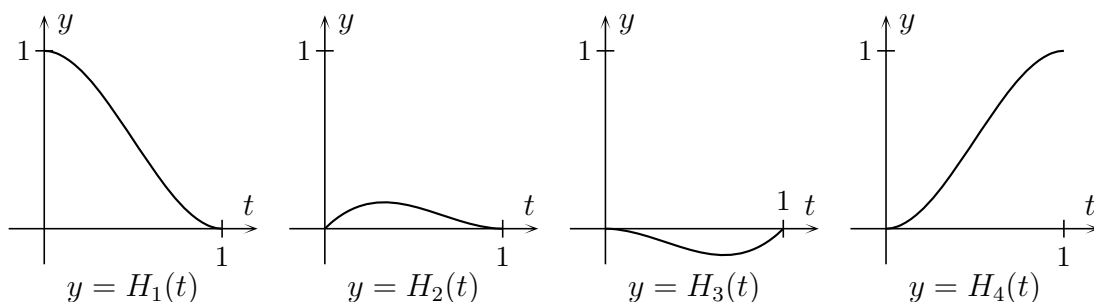


Рис. 1. Кубические полиномы Эрмита

Случай  $n = 6$ . Имеем,  $\gamma_1(t) = 1$ ,  $\gamma_2(t) = t$ ,  $\gamma_3(t) = t^2$ ,  $\gamma_4(t) = t^3$ ,  $\gamma_5(t) = t^4$ ,  $\gamma_6(t) = t^5$ ,

$$G = \begin{pmatrix} 1 & 0 & 0 & 0 & 0 & 1 \\ 0 & 1 & 0 & 0 & 1 & 1 \\ 0 & 0 & 2 & 2 & 2 & 1 \\ 0 & 0 & 0 & 6 & 3 & 1 \\ 0 & 0 & 0 & 12 & 4 & 1 \\ 0 & 0 & 0 & 20 & 5 & 1 \end{pmatrix}, \quad G^{-1} = \begin{pmatrix} 1 & 0 & 0 & -10 & 15 & -6 \\ 0 & 1 & 0 & -6 & 8 & -3 \\ 0 & 0 & \frac{1}{2} & -\frac{3}{2} & \frac{3}{2} & \frac{1}{2} \\ 0 & 0 & 0 & \frac{1}{2} & -1 & \frac{1}{2} \\ 0 & 0 & 0 & -4 & 7 & -3 \\ 0 & 0 & 0 & 10 & -15 & 6 \end{pmatrix}.$$

Значит,

$$\begin{aligned} H_1(t) &= -6t^5 + 15t^4 - 10t^3 + 1, \\ H_2(t) &= -3t^5 + 8t^4 - 6t^3 + t, \\ H_3(t) &= (-t^5 + 3t^4 - 3t^3 + t^2)/2, \\ H_4(t) &= (t^5 - 2t^4 + t^3)/2, \\ H_5(t) &= -3t^5 + 7t^4 - 4t^3 + 1, \\ H_6(t) &= 6t^5 - 15t^4 + 10t^3. \end{aligned}$$

В этом случае  $H_j$  — полиномы Эрмита пятой степени. Их графики изображены на рис. 2.

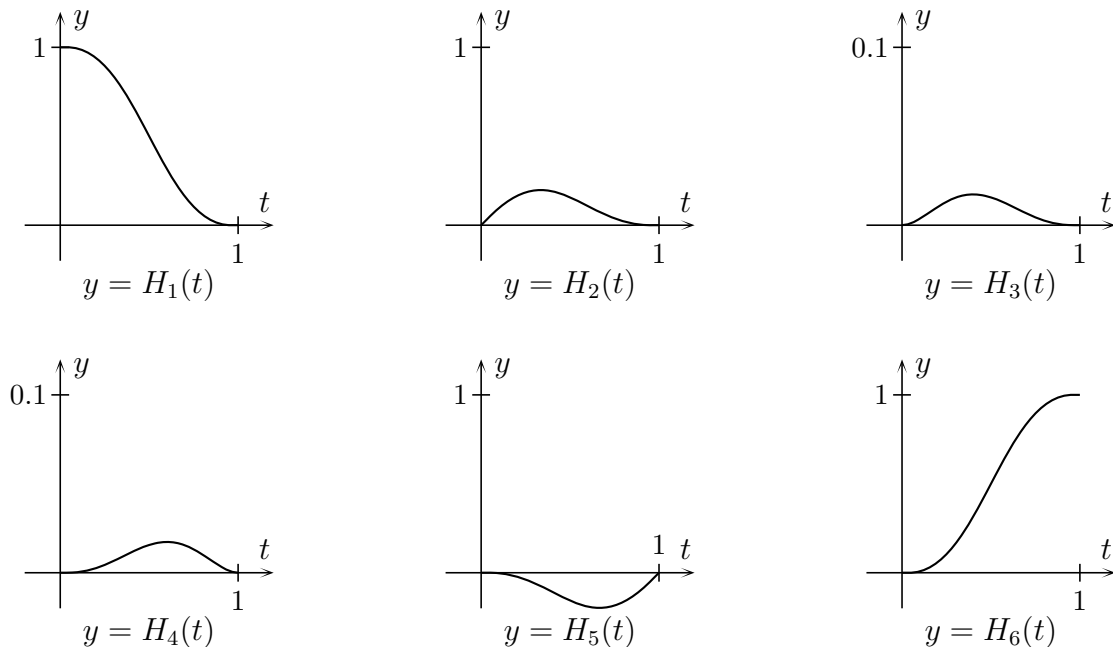


Рис. 2. Полиномы Эрмита пятой степени

#### 4°. Экспоненциальные смешивающие функции.

Пусть функции  $\gamma_k(t)$  выбираются из функций  $t^i e^{jq^k t}$ , где  $q$  — ненулевая константа,  $i$  и  $j$  — целые неотрицательные числа. Смешивающие функции, построенные для данных  $\gamma_k$ , будем называть экспоненциальными.

Случай  $n = 2$ . Возьмём  $\gamma_1(t) = 1$ ,  $\gamma_2(t) = e^{qt}$ . Имеем

$$G = \begin{pmatrix} 1 & 1 \\ 1 & e^q \end{pmatrix}, \quad G^{-1} = \frac{1}{e^q - 1} \begin{pmatrix} e^q & -1 \\ -1 & 1 \end{pmatrix}.$$

Отсюда следует, что

$$H_1(t) = \frac{e^q - e^{qt}}{e^q - 1}, \quad H_2(t) = \frac{e^{qt} - 1}{e^q - 1}.$$

Случай  $n = 4$ . Возьмём  $\gamma_1(t) = 1$ ,  $\gamma_2(t) = t$ ,  $\gamma_3(t) = e^{qt}$ ,  $\gamma_4(t) = te^{qt}$ . Имеем

$$G = \begin{pmatrix} 1 & 0 & 0 & 1 \\ 0 & 1 & 1 & 1 \\ 1 & q & qe^q & e^q \\ 0 & 1 & e^q(1+q) & e^q \end{pmatrix}.$$

Графики функций  $H_j(t)$  при  $q = 3$  показаны на рис. 3, а при  $q = 10$  — на рис. 4.

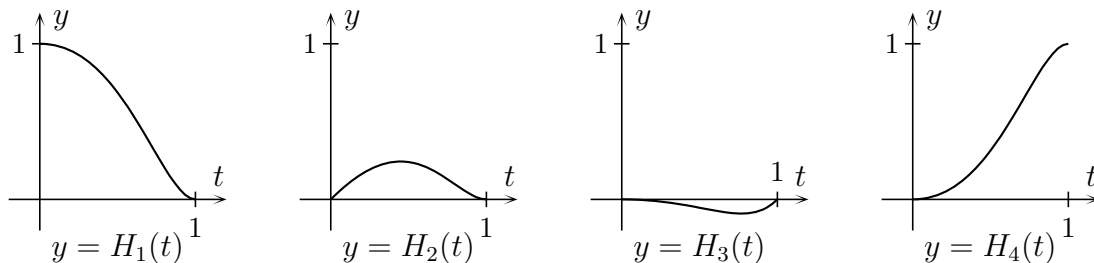


Рис. 3. Экспоненциальные смешивающие функции,  $n = 4$ ,  $q = 3$

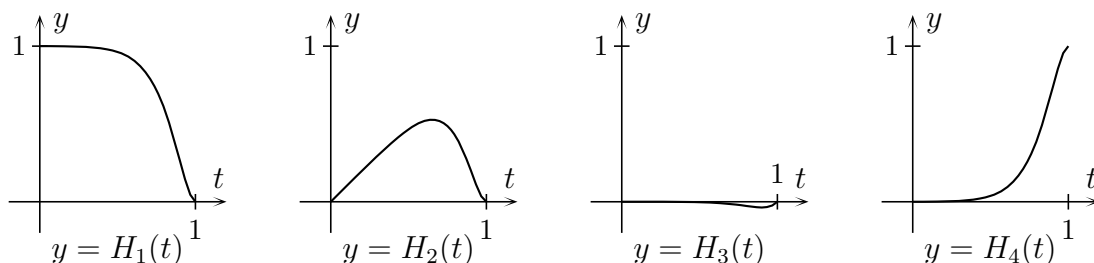


Рис. 4. Экспоненциальные смешивающие функции,  $n = 4$ ,  $q = 10$

Случай  $n = 6$ . Возьмём  $\gamma_1(t) = 1$ ,  $\gamma_2(t) = t$ ,  $\gamma_3(t) = t^2$ ,  $\gamma_4(t) = e^{qt}$ ,  $\gamma_5(t) = te^{qt}$ ,  $\gamma_6(t) = t^2e^{qt}$ . Графики функций  $H_j(t)$  при  $q = 2$  показаны на рис. 5.

### 5°. Дробно-рациональные смешивающие функции.

Пусть  $\gamma_k(t) = \frac{1}{1 - c_k t}$ , где  $c_1, \dots, c_n$  — различные вещественные числа,  $c_k < 1$  при  $k \in 1 : n$ . Смешивающие функции будут иметь вид дробно-рациональных функций от  $t$ .

Случай  $n = 2$ . Имеем

$$G = \begin{pmatrix} 1 & \frac{1}{1-c_1} \\ 1 & \frac{1}{1-c_2} \end{pmatrix}, \quad G^{-1} = \frac{1}{c_1 - c_2} \begin{pmatrix} c_1 - 1 & 1 - c_2 \\ (c_1 - 1)(c_2 - 1) & (c_1 - 1)(1 - c_2) \end{pmatrix}.$$

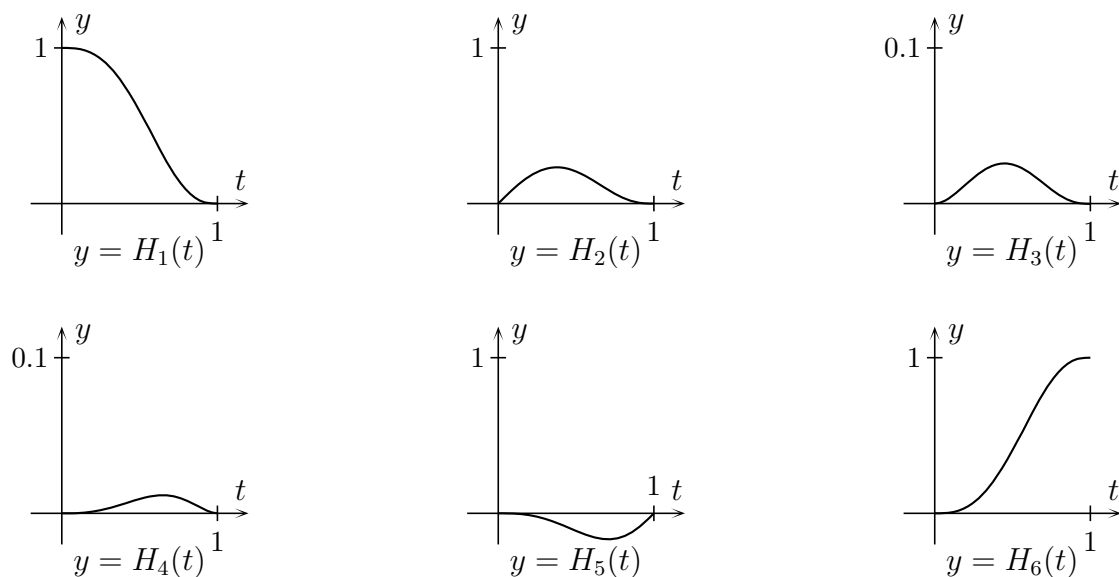


Рис. 5. Экспоненциальные смешивающие функции,  $n = 6$ ,  $q = 2$

Значит,

$$H_1(t) = \frac{c_1 - 1}{c_1 - c_2} \frac{1}{1 - c_1 t} + \frac{1 - c_2}{c_1 - c_2} \frac{1}{1 - c_2 t},$$

$$H_2(t) = \frac{1 - c_2}{c_1 - c_2} \frac{1 - c_1}{1 - c_1 t} + \frac{c_1 - 1}{c_1 - c_2} \frac{1 - c_2}{1 - c_2 t}.$$

Случай  $n = 4$ . Графики смешивающих функций  $H_j(t)$  для набора параметров  $c = (-2, -1, 0, 0.5)$  показаны на рис. 6, а для набора параметров  $c = (-8, -5, -2, 0.75)$  — на рис. 7.

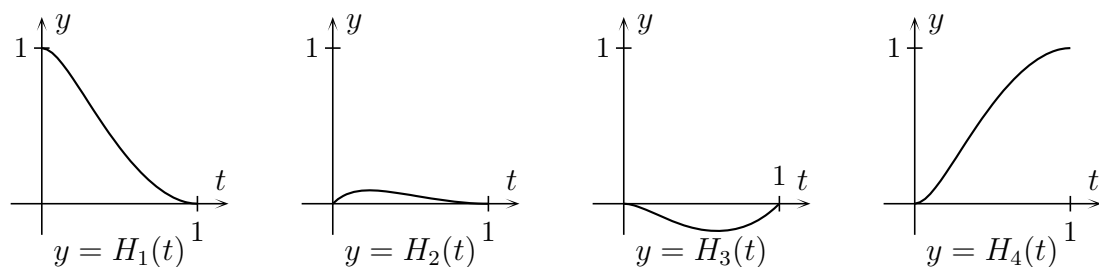


Рис. 6. Дробно-рациональные смешивающие функции,  $c = (-2, -1, 0, 0.5)$

Случай  $n = 6$ . Графики смешивающих функций  $H_j(t)$  для набора параметров  $c = (-4, -2, -1, 0, 0.2, 0.7)$  показаны на рис. 8.

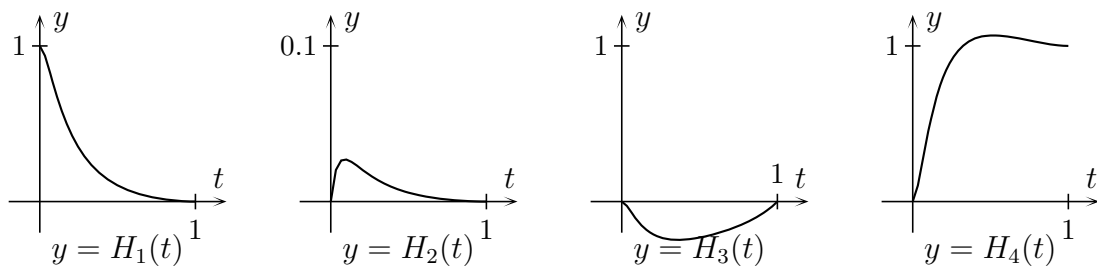


Рис. 7. Дробно-рациональные смешивающие функции,  $c = (-8, -5, -2, 0.75)$

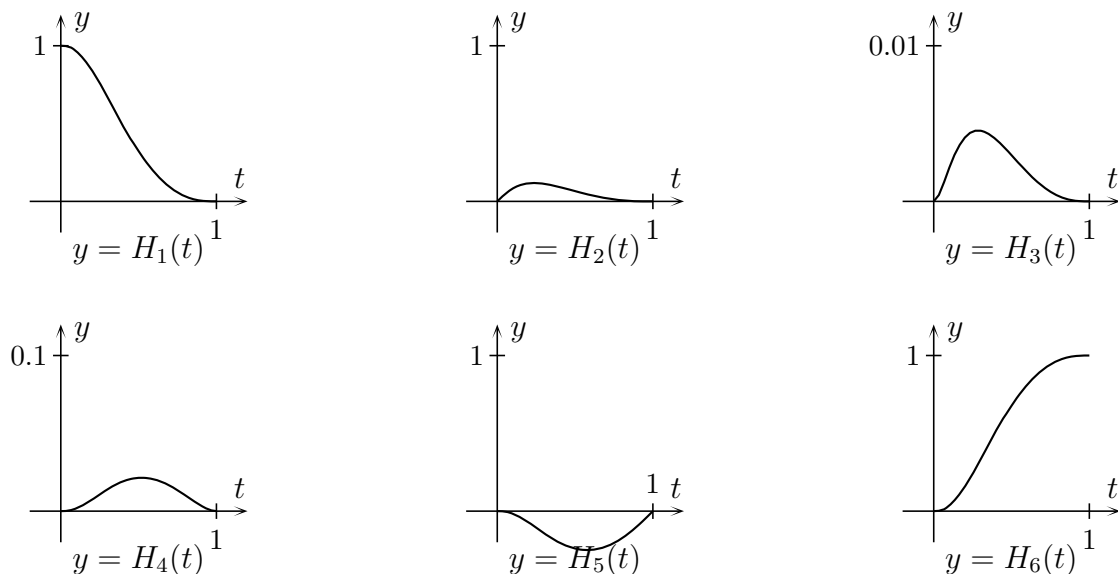


Рис. 8. Дробно-рациональные смешивающие функции,  $n = 6$

### 6°. Логарифмические смешивающие функции.

Пусть  $\gamma_1(t) = 1$ ,  $\gamma_k(t) = \ln(1 + c_{k-1}t)$  при  $k \in 2 : n$ , где  $c_1, \dots, c_{n-1}$  — различные вещественные числа,  $c_j > -1$ ,  $c_j \neq 0$  для  $j \in 1 : n-1$ . Смешивающие функции, построенные для таких  $\gamma_k$ , будем называть логарифмическими.

Случай  $n = 2$ . Имеем  $\gamma_1(t) = 1$ ,  $\gamma_2(t) = \ln(1 + c_1t)$ ,

$$G = \begin{pmatrix} 1 & 1 \\ 0 & \ln(1 + c_2) \end{pmatrix}, \quad G^{-1} = \frac{1}{\ln(1 + c_2)} \begin{pmatrix} \ln(1 + c_2) & -1 \\ 0 & 1 \end{pmatrix}.$$

Значит,

$$H_1(t) = 1 - \frac{\ln(1 + c_2t)}{\ln(1 + c_2)}, \quad H_2(t) = \frac{\ln(1 + c_2t)}{\ln(1 + c_2)}.$$

Случай  $n = 4$ . Графики смешивающих функций  $H_j(t)$  для набора параметров  $c = (1, 2, 3)$  показаны на рис. 9.

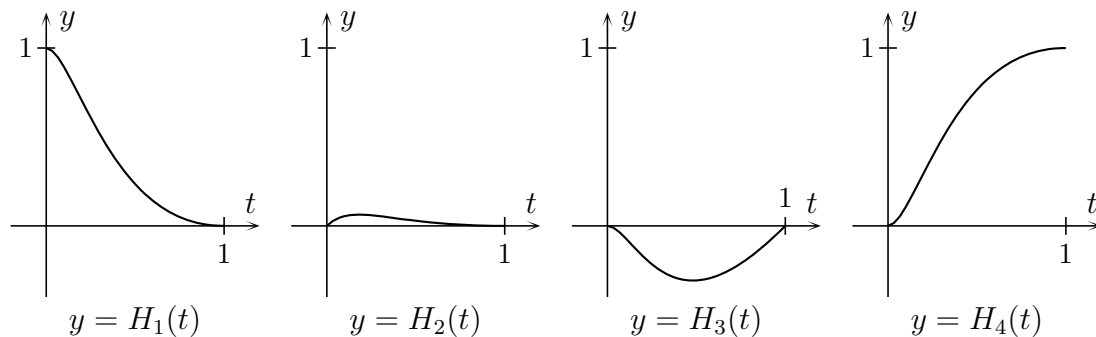


Рис. 9. Логарифмические смешивающие функции,  $n = 4$

Случай  $n = 6$ . Графики смешивающих функций  $H_j(t)$  для набора параметров  $c = (1, 3, 5, 8, 10)$  показаны на рис. 10.

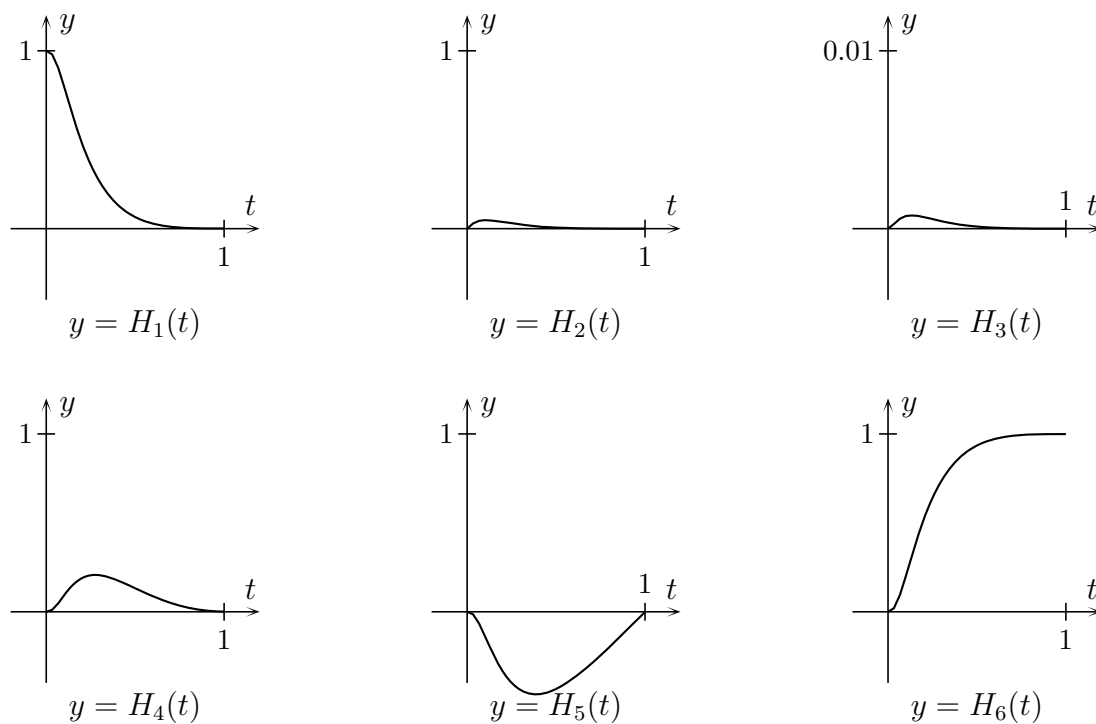


Рис. 10. Логарифмические смешивающие функции,  $n = 6$

### 7°. Тригонометрические смешивающие функции.

Случай  $n = 4$ . Пусть  $\gamma_1(t) = 1$ ,  $\gamma_2(t) = \sin \alpha t$ ,  $\gamma_3(t) = \cos \alpha t$ ,  $\gamma_4(t) = \sin^2 \alpha t$ , где  $\alpha \in (0, \pi)$ . В [3] были найдены смешивающие функции, являющиеся линейными комбинациями функций  $\gamma_k(t)$ :

$$H_1(t) = \frac{(\cos \alpha - \cos \alpha t)^2}{(1 - \cos \alpha)^2},$$

$$H_2(t) = \frac{\sin \alpha t - \sin \alpha}{\alpha} + \frac{(\cos \alpha - \cos \alpha t)(\cos^2 \alpha - \cos \alpha t)}{\alpha \sin \alpha (1 - \cos \alpha)},$$

$$H_3(t) = \frac{(1 - \cos \alpha t)(\cos \alpha - \cos \alpha t)}{\alpha \sin \alpha (1 - \cos \alpha)},$$

$$H_4(t) = 1 - \frac{(\cos \alpha - \cos \alpha t)^2}{(1 - \cos \alpha)^2}.$$

На рис. 11 показаны графики функций  $H_j(t)$  при  $\alpha = \pi/2$ .

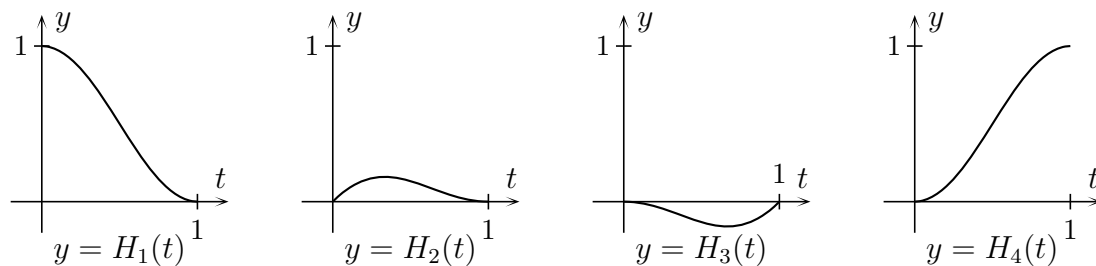


Рис. 11. Тригонометрические смешивающие функции,  $n = 4$ ,  $\alpha = \pi/2$

**ПРИМЕР 1.** Построим по формуле (3) кривую  $r(t)$ , удовлетворяющую условиям

$$r(0) = 0.7, \quad r'(0) = 1, \quad r'(1) = 2, \quad r(1) = 0.2,$$

используя различные наборы смешивающих функций. На рис. 12 показаны полученные кривые:

$r_1(t)$  — для полиномиальных смешивающих функций,

$r_2(t)$  — для экспоненциальных смешивающих функций с параметром  $q = 3$ ,

$r_3(t)$  — для экспоненциальных смешивающих функций с параметром  $q = 10$ ,

$r_4(t)$  — для дробно-рациональных смешивающих функций с набором параметров  $c = (-2, -1, 0, 0.5)$ ,

$r_5(t)$  — для логарифмических смешивающих функций с набором параметров  $c = (1, 2, 3)$ ,

$r_6(t)$  — для тригонометрических смешивающих функций.

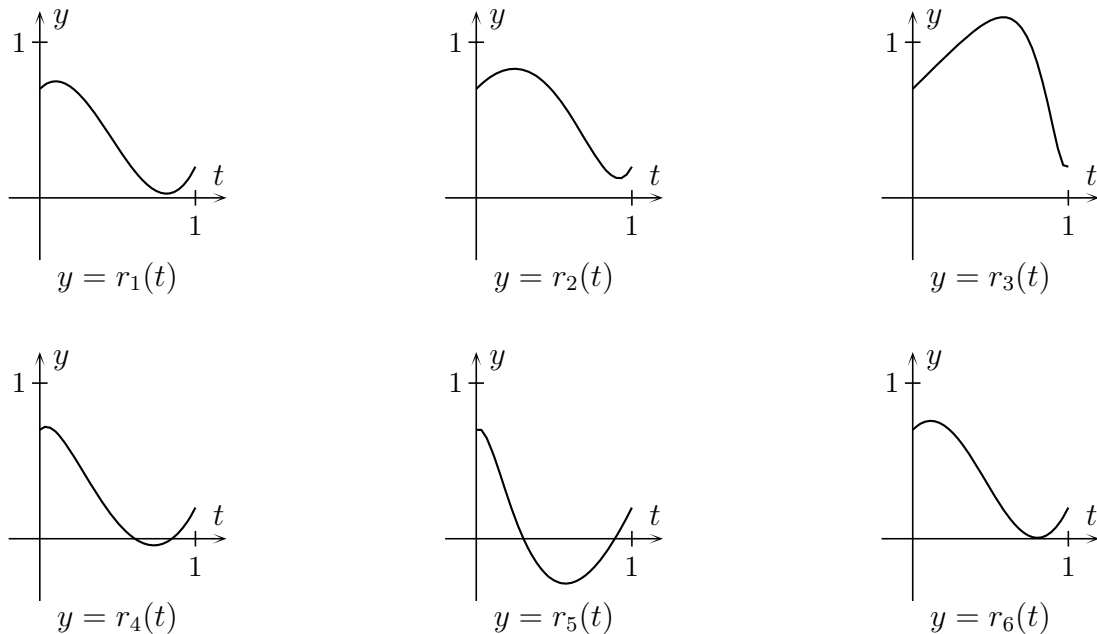


Рис. 12. Построение кривой при помощи различных смешивающих функций

**ПРИМЕР 2.** Построим параметрическую поверхность Кунса  $s(u, v)$  по граничным условиям

$$\begin{aligned} f_1(v) &= \frac{1}{3}(v-1)(4v-3)(v+1/4), & f_2(v) &= \frac{1}{12}(5-10v), \\ f_3(v) &= \frac{1}{12}(5-10v), & f_4(v) &= \frac{1}{3}v(1-4v)(5/4-v), \\ g_1(v) &= \frac{1}{3}(u-1)(4u-3)(u+1/4), & g_2(u) &= \frac{1}{12}(5-10u), \\ g_3(u) &= \frac{1}{12}(5-10u), & g_4(v) &= \frac{1}{3}u(1-4u)(5/4-u), \end{aligned}$$

используя различные наборы смешивающих функций. На рисунке рис. 13 изображены полученные поверхности:

$s_1(u, v)$  — для полиномиальных смешивающих функций,

$s_2(u, v)$  — для экспоненциальных смешивающих функций с параметром  $q = 10$ ,

$s_3(u, v)$  — для дробно-рациональных смешивающих функций с набором параметров  $c = (-8, -5, -2, 0.75)$ ,

$s_4(u, v)$  — для логарифмических смешивающих функций с набором параметров  $c = (1, 2, 3)$ .

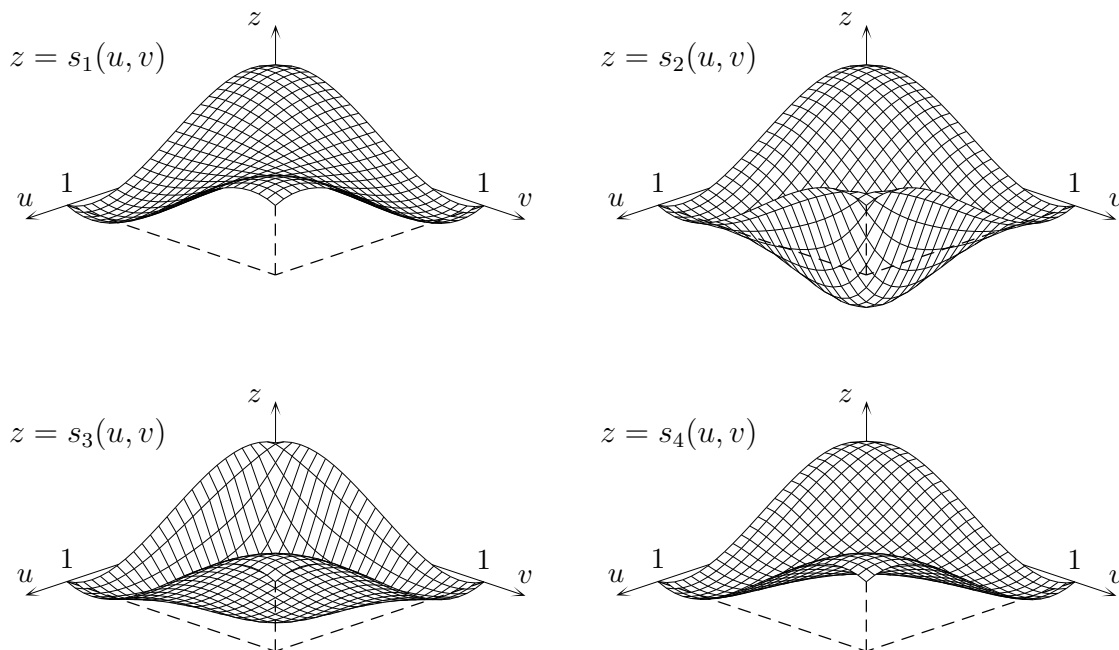


Рис. 13. Поверхности Кунса

## ЛИТЕРАТУРА

1. Арайкина М. И. *Построение параметрических гамма-кривых и поверхностей* // Дипломная работа. Научн. рук. доц. А. А. Васильев. Сыктывкарский гос. университет, 2006.
2. Малозёмов В. Н., Чашников Н. В. *Бикубические поверхности Кунса* // Семинар «DHA & CAGD». Избранные доклады. 23 января 2007 г. (<http://dha.spb.ru/rep07.shtml#0123>)
3. Чашников Н. В. *Поверхность вращения как поверхность Кунса* // Семинар «DHA & CAGD». Избранные доклады. 28 августа 2007 г. (<http://dha.spb.ru/rep07.shtml#0828>)